

Low energy limit from high energy expansion in mass-gapped theory

京大基研
高浦 大雅

HT 2404.05589

Contents

1. Introduction & Key idea
2. First example
3. Second example
4. まとめ

QCD

$$\mathcal{L}_{\text{QCD}} = -\frac{1}{4}F^{a\mu\nu}F_{\mu\nu}^a + \bar{\psi}(i\not{D} - m)\psi$$

where

$$F_{\mu\nu}^a = \partial_\mu A_\nu^a - \partial_\nu A_\mu^a + g_s f^{abc} A_\mu^b A_\nu^c, \quad \not{D} = \not{\partial} - ig_s \not{A}^a T^a$$

漸近自由な理論

高エネルギー：弱結合 ($g_s \rightarrow 0$)

摂動論により、理論計算が可能

低エネルギー：強結合 ($g_s \gg 1$)

理論的な解析は困難

豊富な現象：質量ギャップ

カラー閉じ込め

カイラル凝縮

摂動論

物理量の高エネルギー ($p^2 \gg \Lambda_{\text{QCD}}^2$) の挙動は摂動論で近似できる

$$\mathcal{O}_{\text{phys}}(p^2) = a_0 + a_1 g_s^2(p^2) + a_2 g_s^4(p^2) + \dots$$

現在計算されている (物理量に対する) 最高の摂動次数は $\mathcal{O}(g_s^8)$

OPE (摂動論の拡張)

$$\mathcal{O}_{\text{phys}}(p^2) = \underbrace{C_0(p^2)}_{(p^2 \gg \Lambda_{\text{QCD}}^2)} + \underbrace{C_1(p^2)}_{\text{Wilson係数は摂動計算可能}} \frac{\langle 0 | \mathcal{O}_1 | 0 \rangle \Lambda_{\text{QCD}}^{d_1}}{(p^2)^{d_1}} + \underbrace{C_2(p^2)}_{\text{Wilson係数は摂動計算可能}} \frac{\langle 0 | \mathcal{O}_2 | 0 \rangle \Lambda_{\text{QCD}}^{d_2}}{(p^2)^{d_2}} + \dots \quad (0 < d_1 < d_2 < \dots)$$

ここに

$$C_0(p^2) = a_0 + a_1 g_s^2(p^2) + a_2 g_s^4(p^2) + \dots$$

$$C_1(p^2) = a'_0 + a'_1 g_s^2(p^2) + a'_2 g_s^4(p^2) + \dots$$

$$C_2(p^2) = a''_0 + a''_1 g_s^2(p^2) + a''_2 g_s^4(p^2) + \dots$$

高エネルギー展開は系統的に計算可能

OPE (摂動論の拡張)

真空期待値は非摂動な解析と合わせて決定可

$$\mathcal{O}_{\text{phys}}(p^2) = \underline{C_0(p^2)} + \underline{C_1(p^2)} \frac{\langle 0|\mathcal{O}_1|0\rangle}{(p^2)^{d_1}} + \underline{C_2(p^2)} \frac{\langle 0|\mathcal{O}_2|0\rangle}{(p^2)^{d_2}} + \dots \quad (0 < d_1 < d_2 < \dots)$$

$(p^2 \gg \Lambda_{\text{QCD}}^2)$ Wilson係数は摂動計算可能

ここに

$$C_0(p^2) = a_0 + a_1 g_s^2(p^2) + a_2 g_s^4(p^2) + \dots$$

$$C_1(p^2) = a'_0 + a'_1 g_s^2(p^2) + a'_2 g_s^4(p^2) + \dots$$

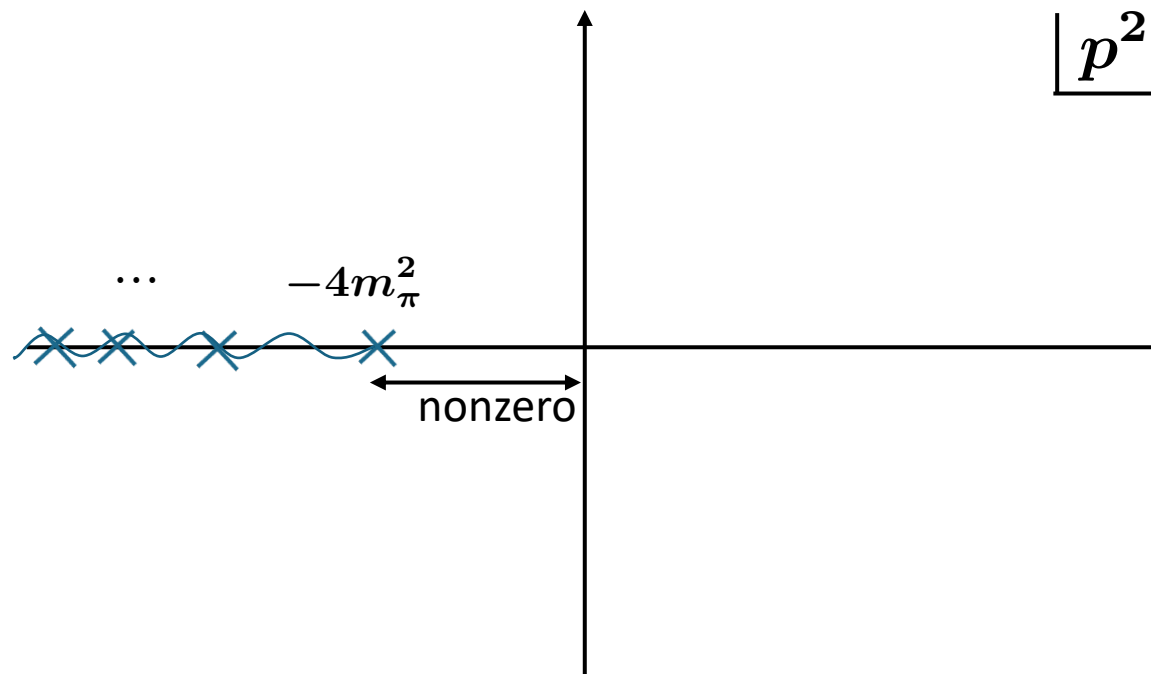
$$C_2(p^2) = a''_0 + a''_1 g_s^2(p^2) + a''_2 g_s^4(p^2) + \dots$$

高エネルギー展開は系統的に計算可能

物理量の解析性

Adler functionの例 $D(p^2) \sim \int d^4x e^{ipx} \langle 0 | J_\mu(x) J^\mu(0) | 0 \rangle$ ($J_\mu(x) = \bar{\psi}(x) \gamma_\mu \psi(x)$)

$$R(s) = \frac{\sigma(e^+e^- \rightarrow \text{hadrons})}{\sigma(e^+e^- \rightarrow \mu^+\mu^-)} \sim \text{Im}[D(p^2 = -s)]$$

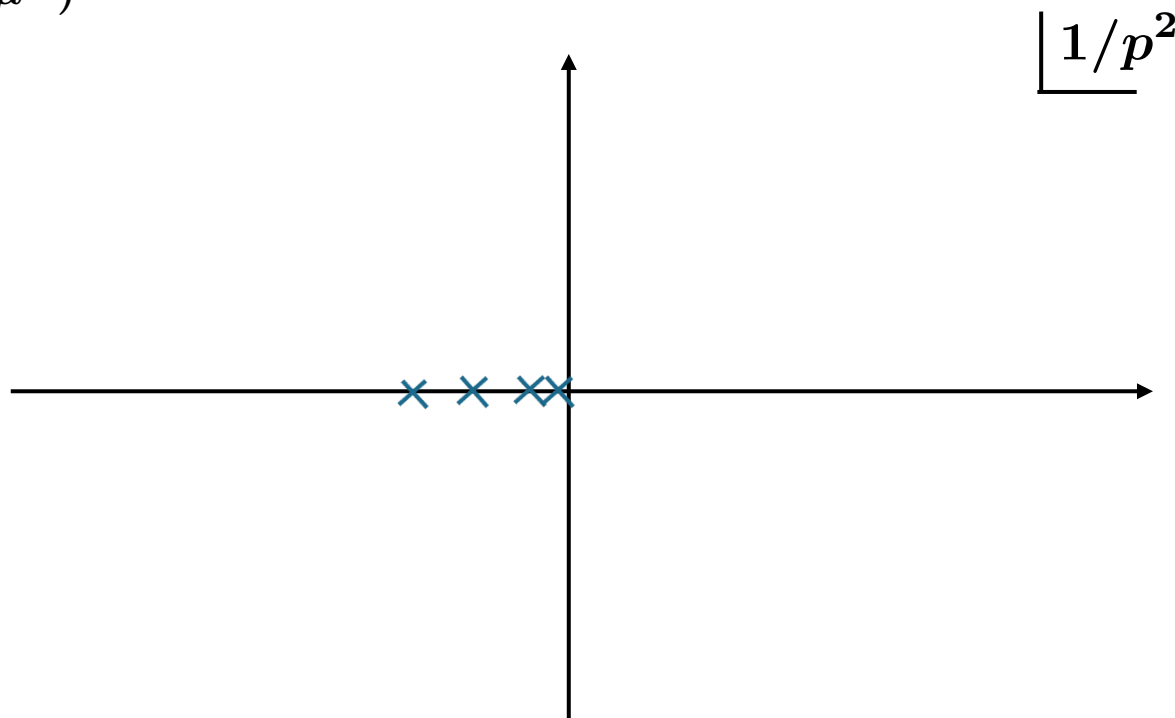


*このトークでは右側をspacelike, 左側をtimelikeにとる

物理量の解析性

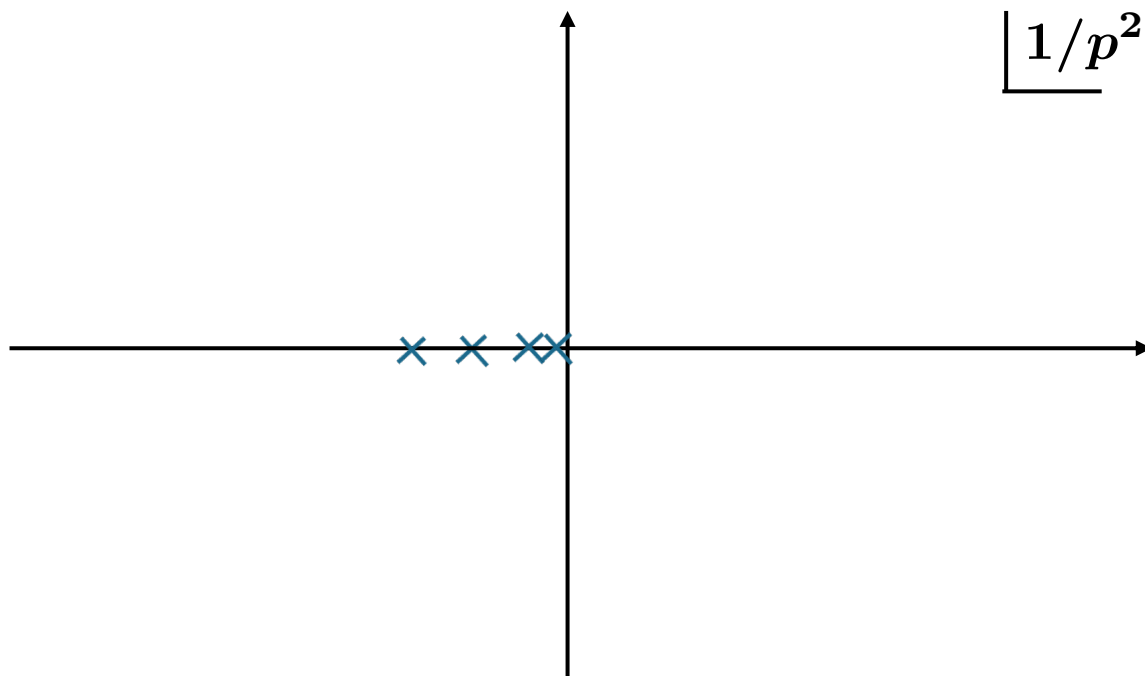
Adler functionの例 $D(p^2) \sim \int d^4x e^{ipx} \langle 0 | J_\mu(x) J^\mu(0) | 0 \rangle$ ($J_\mu(x) = \bar{\psi}(x) \gamma_\mu \psi(x)$)

$$R(s) = \frac{\sigma(e^+e^- \rightarrow \text{hadrons})}{\sigma(e^+e^- \rightarrow \mu^+\mu^-)} \sim \text{Im}[D(p^2 = -s)]$$



いくらでも高エネルギーでハドロン生成が起こるため、0に無限に近い点に特異点が存在!

OPEの収束半径

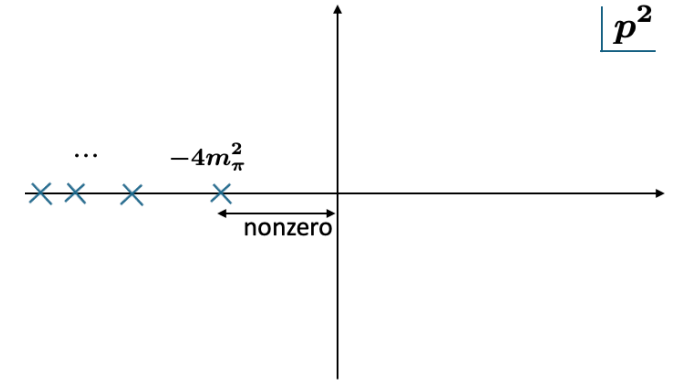


複素関数の定理: Taylor展開は展開点に一番近い特異点の距離に等しい収束半径を持つ

OPEは収束半径0の展開! $\mathcal{O}_{\text{phys}}(p^2) = C_0(p^2) + C_1(p^2) \frac{\langle 0|\mathcal{O}_1|0\rangle}{(p^2)^{d_1}} + C_2(p^2) \frac{\langle 0|\mathcal{O}_2|0\rangle}{(p^2)^{d_2}} + \dots$

仮に展開が全次数計算されても低エネルギーの予言能力は持たない

低エネルギー展開



一方、低エネルギー展開

$$D(p^2) = \sum_{n=0}^{\infty} c_n \left(\frac{p^2}{\Lambda_{\text{QCD}}^2} \right)^n$$

は、 $|p^2| < 4m_\pi^2$ で収束する級数 (mass gapのため有限の収束半径)

この展開は強結合のため、計算が困難

このような低エネルギー極限を求められないか?

Key idea

HT 2404.05589

逆ラプラス変換を考える ($p^2 \leftrightarrow \tau$)

$$\tilde{D}(\tau) = \frac{1}{2\pi i} \int_{-i\infty}^{i\infty} \frac{dr}{r} D(p^2 = 1/r) e^{\tau r} \quad (r = 1/p^2)$$

この変換は 2023 Hayashi, Mishima, Sumino, HT でリノーマロン問題を解決するために導入

Key idea

HT 2404.05589

逆ラプラス変換を考える ($p^2 \leftrightarrow \tau$)

$$\tilde{D}(\tau) = \frac{1}{2\pi i} \int_{-i\infty}^{i\infty} \frac{dr}{r} D(p^2 = 1/r) e^{\tau r} \quad (r = 1/p^2)$$

このトークで着目する性質

$$D(p^2) = \sum_{n=0}^{\infty} c_n \left(\frac{p^2}{\Lambda_{\text{QCD}}^2} \right)^n \xrightarrow{\text{逆ラプラス変換}} \tilde{D}(\tau) = \sum_{n=0}^{\infty} \frac{c_n}{n!} \left(\frac{\tau}{\Lambda_{\text{QCD}}^2} \right)^n$$

低エネルギー展開の収束半径が無限大に \rightarrow τ 平面いたる所で解析的

$$\left[f(x) = \frac{1}{1-x} = 1 + x + x^2 + \dots \rightarrow \tilde{f}(\tau) = \sum_{n=0}^{\infty} \frac{x^n}{n!} = e^x \right]$$

Key idea

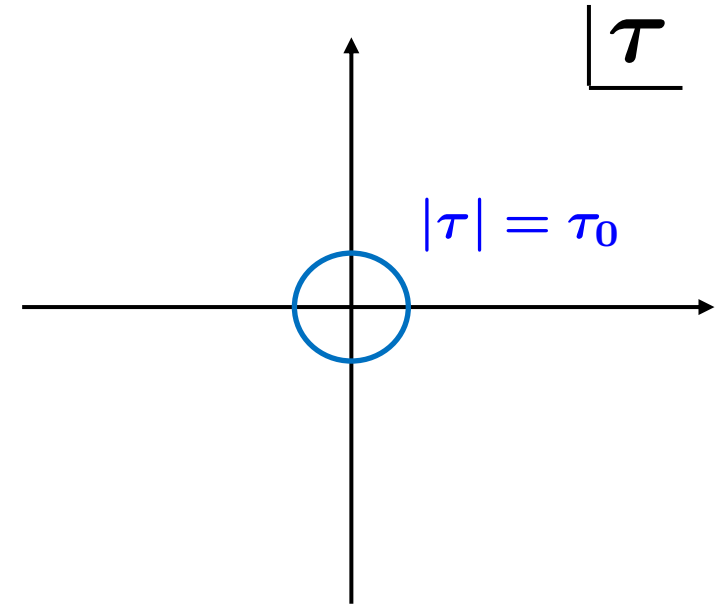
HT 2404.05589

$$\tilde{D}(\tau) = \sum_{n=0}^{\infty} \frac{c_n}{n!} \left(\frac{\tau}{\Lambda_{\text{QCD}}^2} \right)^n$$

Cauchyの留数定理

$$c_n = \frac{n! \Lambda_{\text{QCD}}^{2n}}{2\pi i} \oint_{\tau = \tau_0 e^{i\theta}} \frac{d\tau}{\tau^{n+1}} \tilde{D}(\tau)$$

τ 平面に特異点はないので、半径は任意に取れる



Key idea

HT 2404.05589

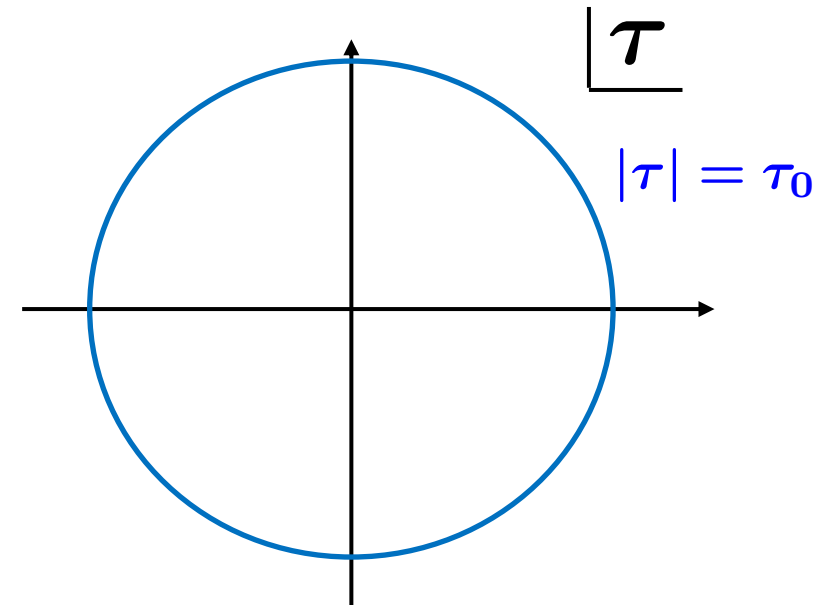
$$\tilde{D}(\tau) = \sum_{n=0}^{\infty} \frac{c_n}{n!} \left(\frac{\tau}{\Lambda_{\text{QCD}}^2} \right)^n$$

Cauchyの留数定理

$$c_n = \frac{n! \Lambda_{\text{QCD}}^{2n}}{2\pi i} \oint_{\tau = \tau_0 e^{i\theta}} \frac{d\tau}{\tau^{n+1}} \tilde{D}(\tau)$$

$\tau_0 \gg \Lambda_{\text{QCD}}^2$ と取れば

$$c_n \stackrel{??}{=} \frac{n! \Lambda_{\text{QCD}}^{2n}}{2\pi i} \oint_{\tau = \tau_0 e^{i\theta}} \frac{d\tau}{\tau^{n+1}} \tilde{D}_{\text{OPE}}(\tau)$$



高エネルギー展開から低エネルギー展開の係数が計算可能(??)

This work

逆ラプラス変換を用いれば、低エネルギー展開(極限)を高エネルギー展開から計算できるか？

弱結合のために系統的に計算可能な高エネルギー展開から、強結合となる低エネルギーの挙動を引き出す

このアイデアを可解模型である2次元 $O(N)$ nonlinear sigma modelで検証する

Contents

- ✓ 1. Introduction & Key idea
- 2. First example
- 3. Second example
- 4. まとめ

Model

2次元O(N) nonlinear sigma model 1976 Bardeen, Lee, Shrock

$$S = \frac{1}{2g_0} \int d^2x \{ \partial_\mu \sigma^a(x) \partial_\mu \sigma^a(x) + \alpha(x) (\sigma^a(x) \sigma^a(x) - N) \}$$

$\sigma^a(x)$: スカラー場 ($a = 1, \dots, N$)

$\alpha(x)$: ラグランジュ未定乗数 ($\sigma^a(x) \sigma^a(x) = N$ を与える)

g_0 : 結合定数

1/N展開により、非摂動的に理論予言が得られる

理論の性質

1/N展開により、以下のことが知られている

- ・ 漸近自由性
- ・ ダイナミカルスケール $m^2 (\leftrightarrow \Lambda_{\text{QCD}}^2)$
- ・ 質量ギャップ (場 α がVEVを持つ: $\langle \alpha \rangle = m^2$)

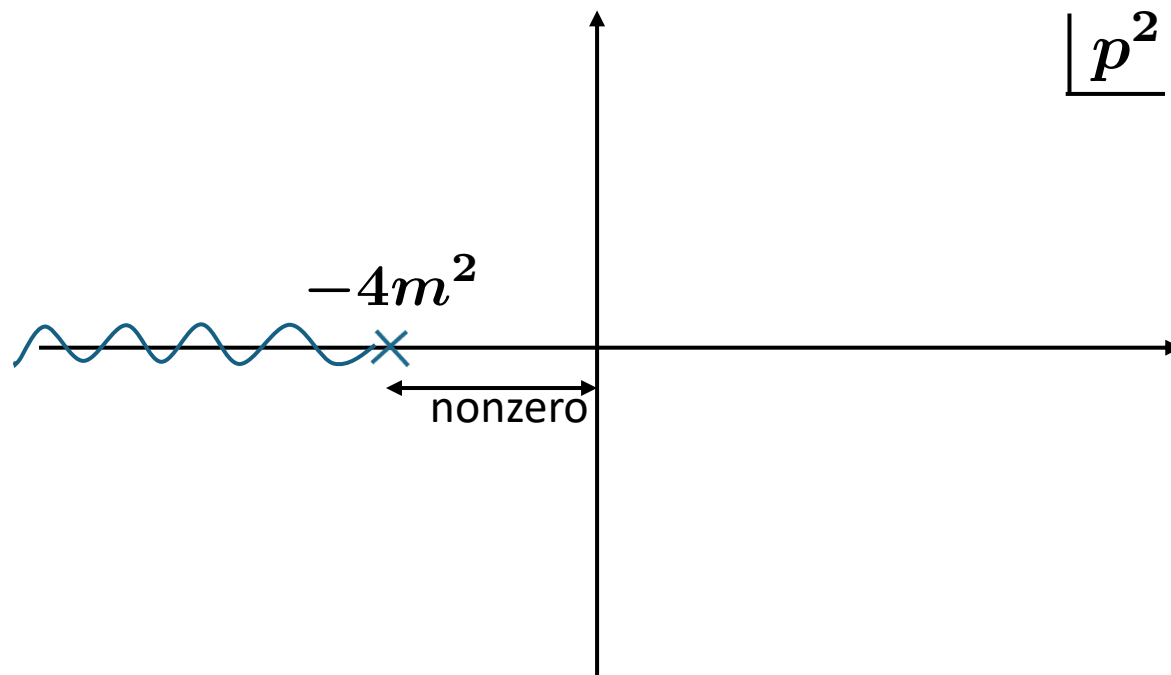
QCDと同様の性質

First example

$\delta\alpha = \alpha - \langle\alpha\rangle$ の2点関数

$$1/N\text{展開の初項: } D_\alpha(p^2) \equiv N \int d^2x e^{-ip \cdot (x-y)} \langle \delta\alpha(x) \delta\alpha(y) \rangle = \frac{4\pi \sqrt{p^2(p^2 + 4m^2)}}{\log \left[\frac{\sqrt{p^2+4m^2} + \sqrt{p^2}}{\sqrt{p^2+4m^2} - \sqrt{p^2}} \right]}.$$

非摂動的な正確な答え



高エネルギー展開

先の答えを高エネルギー展開すると ($p^2 \gg m^2$)

$$D_{\alpha, \text{OPE}}(p^2) = p^2 \sum_{n=0}^{\infty} C_n(p^2) \frac{\langle \alpha^n \rangle}{p^{2n}} \quad \text{where} \quad \langle \alpha^n \rangle = m^{2n}$$

とOPEの形の答えを得る。Wilson係数は

$$C_0(p^2) = 4\pi \hat{g}(p^2)$$

$$\left(\hat{g} = \frac{g}{4\pi} \right)$$

$$C_1(p^2) = 4\pi (2\hat{g}(p^2) - 2\hat{g}^2(p^2))$$

有限次の摂動級数

$$C_2(p^2) = 4\pi (-2\hat{g}(p^2) - \hat{g}^2(p^2) + 4\hat{g}^3(p^2))$$

⋮

QCDでも系統的に計算可能な部分(高エネルギー展開)に対応

低エネルギー展開

先の答えを低エネルギー展開すると

$$D_{\alpha,\text{low}}(p^2) = m^2 \sum_{n=0}^{\infty} c_n \left(\frac{p^2}{m^2} \right)^n \quad (p^2 \ll m^2)$$

ここに

$$c_0 = 8\pi$$

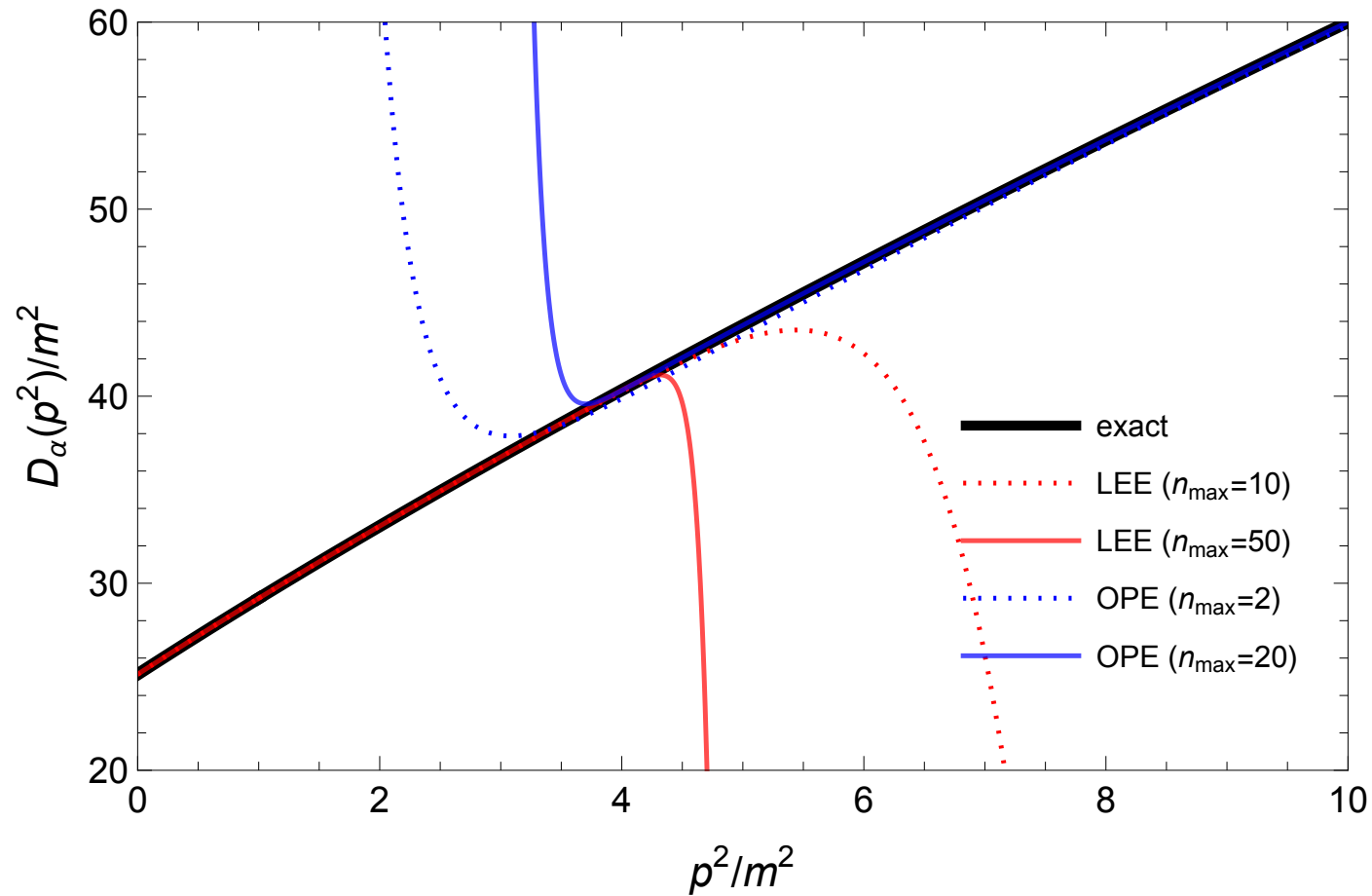
$$c_1 = 4\pi/3$$

$$c_2 = -2\pi/45$$

⋮

QCDでは計算困難な低エネルギー極限 (c_0) を
先の高エネルギー展開だけから引き出せるか？

OPE vs. Low energy expansion



LEE: Low energy expansion

通常の状況：低エネルギー展開とOPEの一致領域なし

逆ラプラス変換

$$\tilde{D}_\alpha(\tau) \equiv \frac{1}{2\pi i} \int_{-i\infty}^{i\infty} \frac{dr}{r} D_\alpha(1/r) e^{\tau r}$$

この高エネルギー展開は、元の量の高エネルギー展開 ($D_{\alpha,\text{OPE}}(p^2)$) から計算できる :

$$\tilde{D}_{\alpha,\text{OPE}}(\tau) = \tau \sum_{n=0}^{\infty} \tilde{C}_n(\tau) \left(\frac{m^2}{\tau}\right)^n \quad (\tau \gg m^2)$$

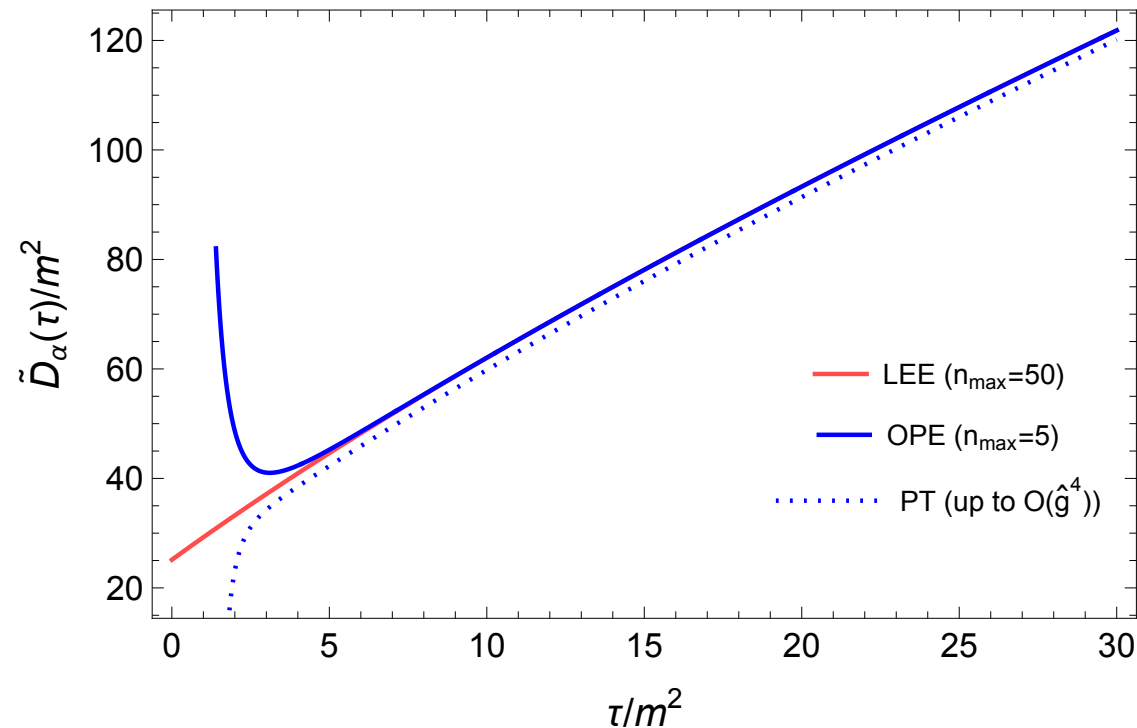
ここに

$$\tilde{C}_0(\tau) = 4\pi \hat{g}(\tau) - 4\pi(\gamma_E - 1)\hat{g}^2(\tau) + \dots$$

$$\tilde{C}_1(\tau) = 8\pi \hat{g}(\tau) - 8\pi(\gamma_E + 1)\hat{g}^2(\tau) + \dots$$

⋮

OPE vs. Low energy expansion *after* inverse Laplace transform



逆ラプラス変換後： $\tau \gg m^2$ の領域で、低エネルギー展開とOPEが一致！

Duality violations

$\tilde{D}_\alpha(\tau) \approx \tilde{D}_{\alpha, \text{OPE}}(\tau)$ for $\tau \in \mathbb{R}$, $\tau \gg m^2$ を確認済み

$\tilde{D}_\alpha(\tau) \approx \tilde{D}_{\alpha, \text{OPE}}(\tau)$ for $\tau \in \mathbb{C}$, $|\tau| \gg m^2$ も成り立つ？

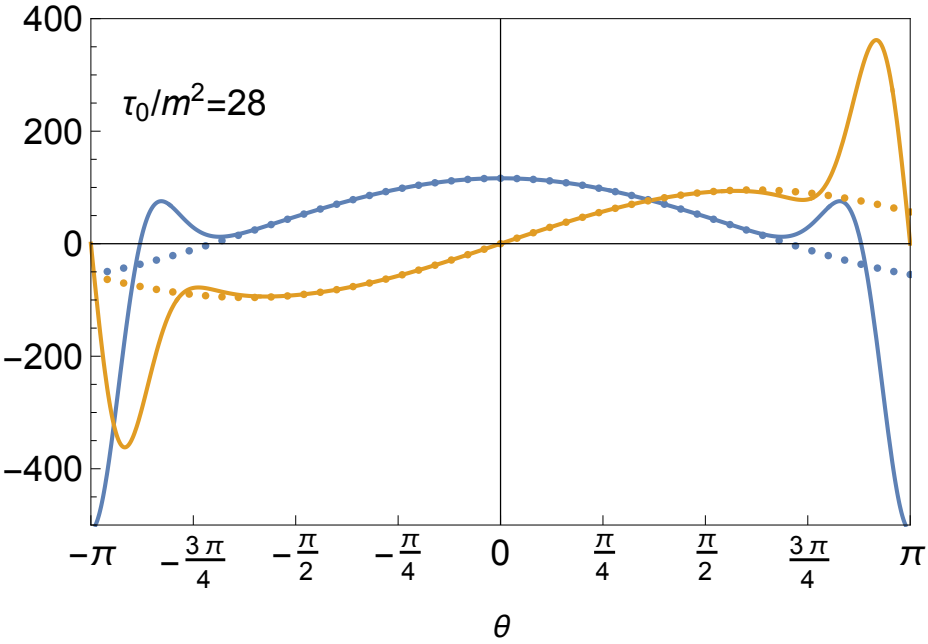
(留数定理が使えるために必要)

Duality violations

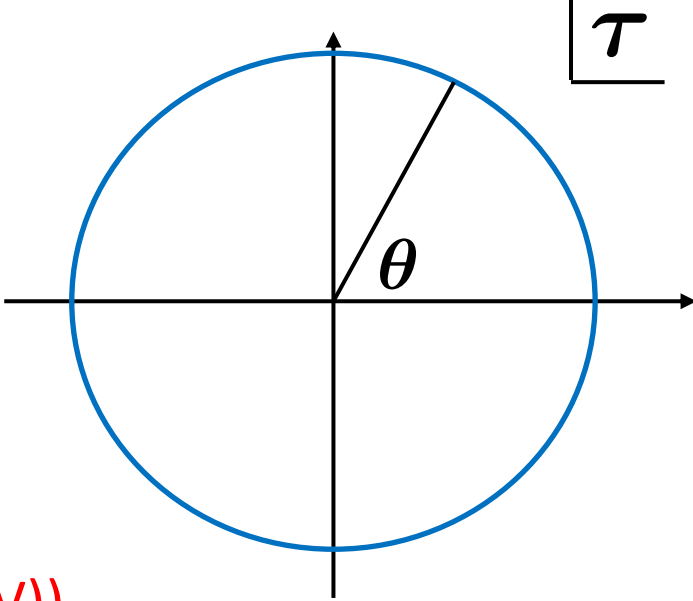
$\tilde{D}_\alpha(\tau) \approx \tilde{D}_{\alpha,\text{OPE}}(\tau)$ for $\tau \in \mathbb{R}, \tau \gg m^2$ を確認済み

$\tilde{D}_\alpha(\tau) \approx \tilde{D}_{\alpha,\text{OPE}}(\tau)$ for $\tau \in \mathbb{C}, |\tau| \gg m^2$ も成り立つ?

(留数定理が使えるために必要)



- Re[\tilde{D}_α/m^2]
- Im[\tilde{D}_α/m^2]
- Re[$\tilde{D}_{\alpha,\text{OPE}}/m^2$] ($n_{\text{max}}=7$)
- Im[$\tilde{D}_{\alpha,\text{OPE}}/m^2$] ($n_{\text{max}}=7$)

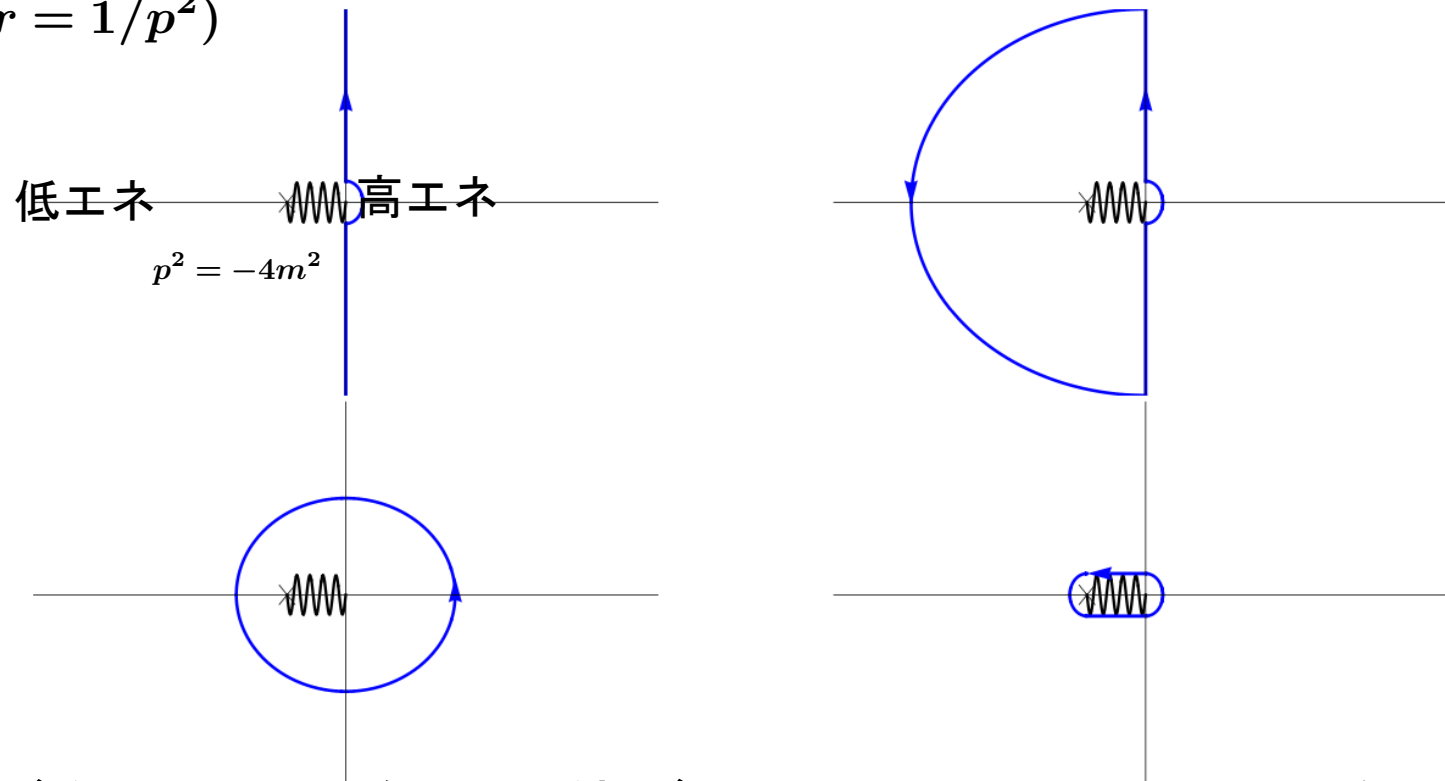


左半平面で近似が成り立たない(Duality violations(DV))

Duality violations

$$\tilde{D}_\alpha(\tau) \equiv \frac{1}{2\pi i} \int_{-i\infty}^{i\infty} \frac{dr}{r} D_\alpha(1/r) e^{\tau r}$$

r 平面の積分路 ($r = 1/p^2$)



OPEではcutが左半平面で無限に伸びてしまい、DVの原因になる

DVの関数形

$$\tilde{D}_\alpha(\tau) = \tilde{D}_{\alpha,\text{OPE}}(\tau) + \underbrace{\tilde{D}_{\alpha,\text{DV}}(\tau)}_{\text{OPEの破れ}}$$

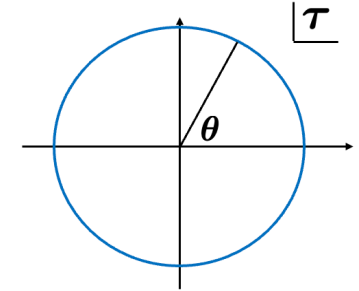
DVの関数形は

$$\tilde{D}_{\alpha,\text{DV}}(\tau) \approx K \frac{e^{-\tau/m_{\text{gap}}^2}}{\tau} \left[1 + k_1 \left(\frac{m_{\text{gap}}^2}{\tau} \right) + k_2 \left(\frac{m_{\text{gap}}^2}{\tau} \right)^2 + \dots \right]$$

DVを抑制する留数定理

$$c_0 = \frac{1}{2\pi i} \oint_{\tau=\tau_0 e^{i\theta}} \frac{d\tau}{\tau} \tilde{D}_\alpha(\tau)/m^2 \quad \text{の代わりに}$$

$$c_0 = \frac{1}{2\pi i} \oint_{\tau=\tau_0 e^{i\theta}} \frac{d\tau}{\tau} \left(\frac{\tau}{\tau_0} + 1 \right)^k \tilde{D}_\alpha(\tau)/m^2 \quad (k: \text{正の整数})$$



において、 $\tilde{D}_{\alpha, \text{OPE}}(\tau)$ を用いる (左半平面 $\tau \approx -\tau_0$ の寄与が抑制される)

先の関数形のDVを抑制するには

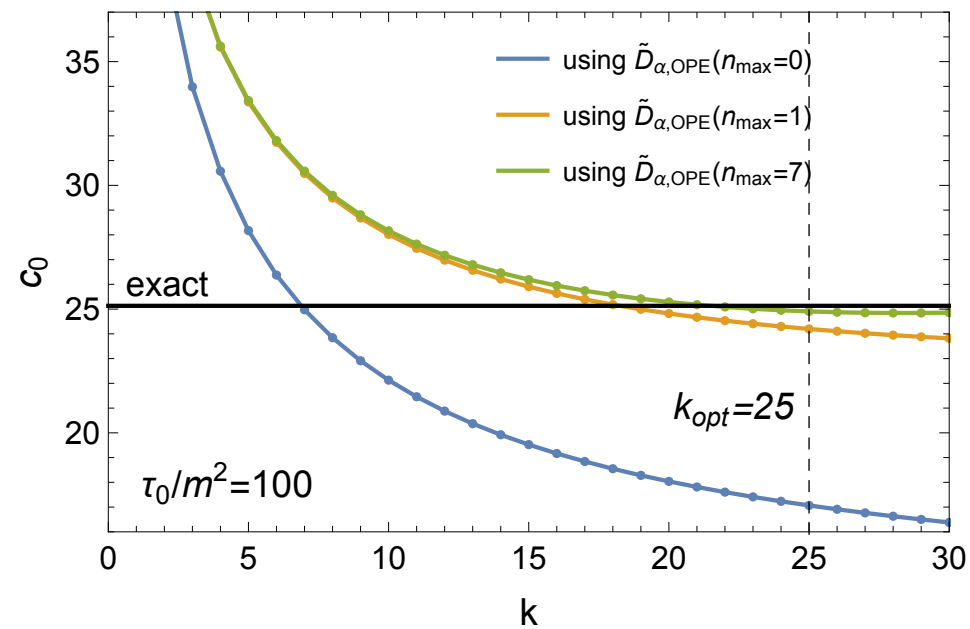
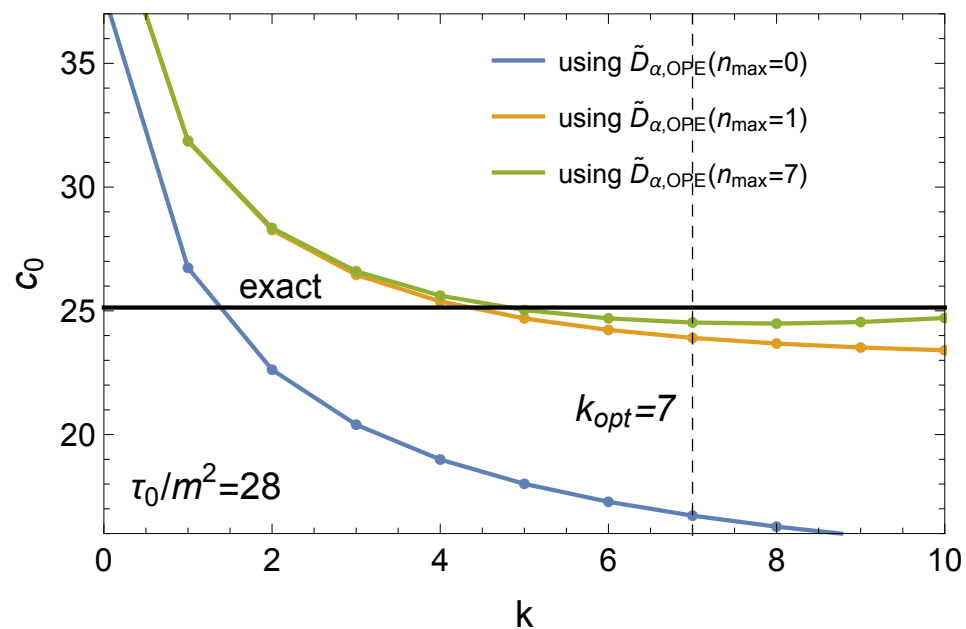
$$k = \tau_0 / m_{\text{gap}}^2$$

と取れば良い

m_{gap}^2 が分かれば、DVの影響はコントロールできる

低エネルギー一極限

$$c_0 = \frac{1}{2\pi i} \oint_{\tau=\tau_0 e^{i\theta}} \frac{d\tau}{\tau} \left(\frac{\tau}{\tau_0} + 1 \right)^k \tilde{D}_{\alpha, \text{OPE}}(\tau) / m^2 \quad \text{w/} \quad \tilde{D}_{\alpha, \text{OPE}}(\tau) \simeq \tau \sum_{n=0}^{n_{\max}} \tilde{C}_n(\tau) \left(\frac{m^2}{\tau} \right)^n$$



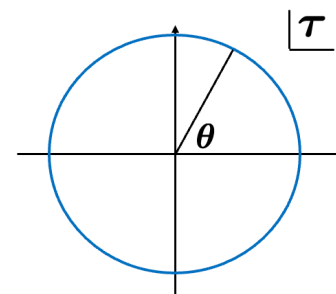
ここまでのまとめ

- ・ ターゲットは低エネルギー極限 $\lim_{p^2 \rightarrow 0} D_\alpha(p^2)/m^2 = c_0$
- ・ 元の量の高エネルギー展開 $D_{\alpha, \text{OPE}}(p^2)$ から、逆ラプラス変換された量の高エネルギー展開 $\tilde{D}_{\alpha, \text{OPE}}(\tau)$ が計算できる
- ・ $\tilde{D}_\alpha(\tau) \approx \tilde{D}_{\alpha, \text{OPE}}(\tau)$ for $|\tau| \gg m^2$ の近似は、 τ 平面右側では成り立つが、左側では破れる (Duality violations)

- ・ 左半平面を抑制するような留数定理を用いることで、

$\lim_{p^2 \rightarrow 0} D_\alpha(p^2)/m^2 = c_0$ が近似的に引き出せる！

$$c_0 = \frac{1}{2\pi i} \oint_{\tau = \tau_0 e^{i\theta}} \frac{d\tau}{\tau} \left(\frac{\tau}{\tau_0} + 1 \right)^k \tilde{D}_{\alpha, \text{OPE}}(\tau)/m^2 \quad \text{w/} \quad k = \tau_0/m_{\text{gap}}^2$$



Contents

✓ 1. Introduction & Key idea

✓ 2. First example

3. Second example

4. まとめ

Second example

σ -プロパゲータへの自己エネルギー補正 1998 Beneke, Braun, Kivel

$$\rho(q^2) = q^2 \frac{d^2}{d(q^2)^2} \Pi_\sigma(q^2)$$

ここに

$$\frac{1}{N} \Pi_\sigma(q^2) = \frac{1}{N} \int \frac{d^d k}{(2\pi)^d} \frac{1}{(q+k)^2 + m^2} D_\alpha(k^2)$$

高エネルギー展開

$$\rho_{\text{OPE}}(q^2) = \sum_{n=0}^{\infty} \left[\frac{C_n^1(q^2)}{q^{2n}} + \sum_j \frac{C_{n,j}^2(q^2)}{q^{2n}} \frac{\langle \mathcal{O}_{n,j}^{\delta\alpha} \rangle}{q^{2n}} \right]$$

Calculable

低エネルギー展開

$$\rho(q^2)_{\text{low}}(q^2) = \sum_{n=1}^{\infty} c_n \left(\frac{q^2}{m^2} \right)^n$$

一例目との違い

$$\rho_{\text{OPE}}(q^2) = \sum_{n=0}^{\infty} \left[C_n^1(q^2) \frac{\langle \alpha \rangle^n}{q^{2n}} + \sum_j C_{n,j}^2(q^2) \frac{\langle \mathcal{O}_{n,j}^{\delta\alpha} \rangle}{q^{2n}} \right]$$

$C_n^1(q^2)$: リノーマロンを持った無限次摂動級数

$\langle \mathcal{O}_{n,j}^{\delta\alpha} \rangle$: 不定性を持った非摂動行列要素

1998 Beneke, Braun, Kivel

逆ラプラス変換

$$\rho_{\text{OPE}}(q^2) = \sum_{n=0}^{\infty} \left[C_n^1(q^2) \frac{\langle \alpha \rangle^n}{q^{2n}} + \sum_j C_{n,j}^2(q^2) \frac{\langle \mathcal{O}_{n,j}^{\delta\alpha} \rangle}{q^{2n}} \right]$$

$C_n^1(q^2)$: リノーマロンを持った無限次摂動級数

1998 Beneke, Braun, Kivel

$\langle \mathcal{O}_{n,j}^{\delta\alpha} \rangle$: 不定性を持った非摂動行列要素

逆ラプラス変換 $\tilde{\rho}(\tau) = \frac{1}{2\pi i} \int_{-i\infty}^{i\infty} \frac{dr}{r} \rho(1/r) e^{\tau r} \quad (r = 1/q^2)$

$$\tilde{\rho}_{\text{OPE}}(\tau) = \sum_{n=0}^{\infty} \tilde{C}_n(\tau) \left(\frac{m^2}{\tau} \right)^n$$

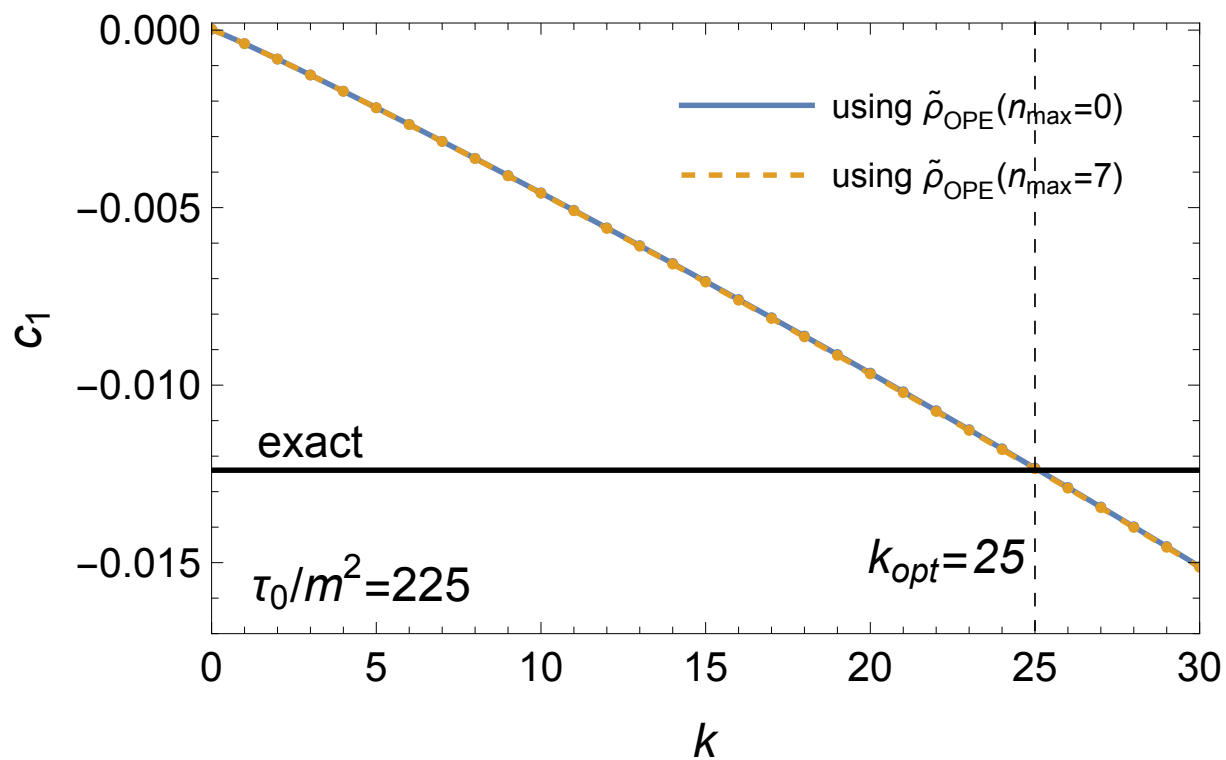
$\tilde{C}_n(\tau)$: リノーマロン消失!

2023 Hayashi, Mishima, Sumino, HT

$\langle \mathcal{O}_{n,j}^{\delta\alpha} \rangle$ も現れない!

結果

$$c_1 \simeq \frac{m^2}{2\pi i} \oint_{\tau=\tau_0 e^{i\theta}} \frac{d\tau}{\tau^2} \left(\frac{\tau}{\tau_0} + 1 \right)^k \tilde{\rho}_{\text{OPE}}(\tau) \quad \text{w/} \quad \tilde{\rho}_{\text{OPE}}(\tau) = \sum_{n=0}^{n_{\text{max}}} \tilde{C}_n(\tau) \left(\frac{m^2}{\tau} \right)^n$$



まとめ

- 解析困難なQCDの低エネルギー極限に体系的な高エネルギー展開から迫る新しい手法
- 逆ラプラス変換を用いると τ 平面で解析的
 - ←→ 低エネルギー展開と高エネルギー展開が繋がる(up to Duality Violations)
- DVを抑制する留数定理を用いることで、高エネルギー展開から低エネルギー極限が引き出せる！

追加の利点：リノーマロンと不定な行列要素の消失

展望

- QCDと今回のモデルの主な違い

今回のモデル：粒子生成由来の特異点が一点だけ

QCD：粒子生成由来の特異点が無限個

- QCDの相転移?